

普通物理 B 下公式

(公式需记得准确! 再做做作业题、历年期末试卷、期末复习 ppt、课堂例题!)

- 1、复习重点为每次的作业。作业必须搞懂!!!
- 2、关于单位: (1) 如果所写的答案里都是字母, 没有数字, 则可以不写单位。一旦公式里带入了数字, 就必须要注意单位问题。(2) 若原题目中已经写了单位 (比如: SI) 则答案中必须带和题目中一样的单位 (SI) 不论是字母还是数字。
- 3、矢量记得带矢量符号。写矢量的大小不要忘记叉乘点乘角度问题。

力学

二、

狭义相对论

$$1、\star \text{质速关系: } m = \frac{m_0}{\sqrt{1-(v/c)^2}}, \star \text{静止能量: } E_0 = m_0 c^2, \star \text{总能量: } E = mc^2 = \frac{E_0}{\sqrt{1-(v/c)^2}},$$

$$\star \text{动能: } E_k = mc^2 - m_0 c^2 = \left(\frac{1}{\sqrt{1-(v/c)^2}} - 1 \right) E_0, \star \text{动能定理: } A_{\text{外}} = E_{k2} - E_{k1}, \star \text{动量 } \vec{p} = m\vec{v} = \frac{m_0 \vec{v}}{\sqrt{1-(v/c)^2}}$$

$$2、\text{光子: } m_0 = 0, E_0 = 0, E = mc^2 = h\nu, p = mc = \frac{E}{c} = \frac{h}{\lambda}$$

3、两个粒子碰撞, 复合成一个新的粒子: 满足系统的能量守恒, 动量守恒。

★小结: 每一个公式都要记住。特别是长度收缩、时间膨胀、质能关系式和相对论动能的表达式。

静电场

一、真空中的静电场: ①所有公式中, 当真空→电介质时, 只要将公式中的 $\epsilon_0 \rightarrow \epsilon = \epsilon_r \epsilon_0$ 即可; ②重点: 点电荷、球型、柱型或平面电荷分布的各个物理量的计算。

$$1、\text{库仑定律: } \vec{F} = \frac{1}{4\pi\epsilon_0} \frac{q_1 q_2}{r^2} \vec{e}_r, \frac{1}{4\pi\epsilon_0} = 9 \times 10^9 \text{ N} \cdot \text{m}^2 / \text{C}^2$$

2、电场强度的计算

$$\textcircled{1} \text{ 电场强度定义: } \vec{E} = \frac{\vec{F}}{q_0};$$

$$\textcircled{2} \text{ 场强叠加法: } \vec{E} = \sum_i \vec{E}_i, \vec{E} = \int d\vec{E} \text{ (分割成许多电荷元 } dq; \text{ 求出 } dq \text{ 在场点产生的场强 } d\vec{E} \text{ 的大小和方向; 分}$$

解为分量 dE_x, dE_y, dE_z 后, 三个分量分别积分 $E_x = \int dE_x, E_y = \int dE_y, E_z = \int dE_z$);

③ 高斯定理法：球对称： $E \cdot 4\pi r^2 = \frac{1}{\epsilon_0} \sum_{s \text{ 内}} q$ ； 轴对称： $E \cdot 2\pi r L = \frac{1}{\epsilon_0} \sum_{s \text{ 内}} q$

④ 电势梯度法： $\vec{E} = -\nabla U$ ，三个分量 $E_x = -\frac{\partial U}{\partial x}$ ， $E_y = -\frac{\partial U}{\partial y}$ ， $E_z = -\frac{\partial U}{\partial z}$

1、电通量： $\Phi = \iint_s \vec{E} \cdot d\vec{s}$ （注意，点积；有时可以借助于高斯定理简化计算）。

2、电场线和等势面：电场线指向电势下降的地方；电场线垂直于等势面；电场线、等势面密集处，场强大。

3、★电势和电势差的计算

① 定义式：电势差： $U_1 - U_2 = \int_{r_1}^{r_2} \vec{E} \cdot d\vec{r}$ ，电势定义式： $U_p = \int_{r_p}^{\text{电势零点的位置}} \vec{E} \cdot d\vec{r}$

② 电势叠加法： $U = \sum_i U_i$ ， $U = \int dU$ （将带电体分割，任取一电荷元 dq ，求出 dq 在场点的电势 dU ；然后对带电体积分 $U = \int dU$ ）；

4、★电场力做功： $A_{a \rightarrow b} = q(U_a - U_b)$ ， q 在电场中的电势能 $W_a = qU_a$ ；静电场能量密度： $w_e = \frac{1}{2} \epsilon E^2$ ；静电场能

量 $W_e = \iiint_V w_e dV = \iiint_V \frac{1}{2} \epsilon E^2 dV$ ；

5、静电场的高斯定理： $\oiint_s \vec{E} \cdot d\vec{s} = \frac{1}{\epsilon_0} \sum_{s \text{ 内}} q$ ， $\oiint_s \vec{D} \cdot d\vec{s} = \sum_{s \text{ 内}} q$ ，其中，电位移矢量 $\vec{D} = \epsilon \vec{E} = \epsilon_r \epsilon_0 \vec{E}$ ；掌握用高斯定理计算高对称性带电体（球对称、轴对称、面对称）激发的场强分布（注意步骤）；计算电通量。

6、静电场的环路定理： $\oint_L \vec{E} \cdot d\vec{l} = 0$ ，静电场是保守力场，静电力做功与路径无关。（证明题中常用反证法！）

7、★各种典型带电体的场强和电势分布：请画出 $E-r$ 和 $U-r$ 曲线。

① 点电荷： $\vec{E} = \frac{q}{4\pi\epsilon_0 r^2} \vec{e}_r$ ， $U = \frac{q}{4\pi\epsilon_0 r}$ ；

② 均匀带电球面（半径 R ，总电量 Q ， r 为场点到球心的距离）：

$$\vec{E} = \begin{cases} 0 & (r < R) \\ \frac{Q}{4\pi\epsilon_0 r^2} \vec{e}_r & (r > R) \end{cases} \quad U = \begin{cases} \frac{Q}{4\pi\epsilon_0 R} & (r \leq R) \\ \frac{Q}{4\pi\epsilon_0 r} & (r > R) \end{cases}$$

③ 均匀带电球体（半径 R ，总电量 Q ，体密度为 ρ ， r 为场点到球心的距离）：

$$\vec{E} = \begin{cases} \frac{\rho r}{3\epsilon_0} \vec{e}_r & (r < R) \\ \frac{Q}{4\pi\epsilon_0 r^2} \vec{e}_r & (r \geq R) \end{cases}$$

④ 有限长直导线（长度为 L ，单位长度的电量为 λ ， r 为场点到直线的垂直距离）：

$$E_x = \frac{\lambda}{4\pi\epsilon_0 r} (\cos\theta_1 - \cos\theta_2), \quad E_y = \frac{\lambda}{4\pi\epsilon_0 r} (\sin\theta_2 - \sin\theta_1) \quad (y \text{ 为沿着导线方向; } x \text{ 为垂直导线方向})$$

⑤ 均匀带电无限长直线 (单位长度的电量为 λ , r 为场点到直线的垂直距离): $\vec{E} = \frac{\lambda}{2\pi\epsilon_0 r} \vec{e}_r$

⑥ 均匀带电无限长圆柱面 (半径为 R , 单位长度的电量为 λ , r 为场点到轴线的垂直距离):

$$\vec{E} = \begin{cases} 0 & (r < R) \\ \frac{\lambda}{2\pi\epsilon_0 r} \vec{e}_r & (r > R) \end{cases}, \quad \text{外部空间的电势差 } U_{R_1} - U_{R_2} = \int_{R_1}^{R_2} E dr = \int_{R_1}^{R_2} \frac{\lambda}{2\pi\epsilon_0 r} dr = \frac{\lambda}{2\pi\epsilon_0} \ln \frac{R_2}{R_1}$$

⑦ 均匀带电无限长圆柱体 (半径为 R , 单位长度的电量为 λ , r 为场点到轴线的垂直距离):

$$\vec{E} = \begin{cases} \frac{\lambda \vec{r}}{2\pi\epsilon_0 R^2} & (r < R) \\ \frac{\lambda}{2\pi\epsilon_0 r} \vec{e}_r & (r \geq R) \end{cases}, \quad \text{外部空间的电势差 } U_{R_1} - U_{R_2} = \int_{R_1}^{R_2} E dr = \int_{R_1}^{R_2} \frac{\lambda}{2\pi\epsilon_0 r} dr = \frac{\lambda}{2\pi\epsilon_0} \ln \frac{R_2}{R_1}$$

⑧ 均匀带电无限大平面: $E = \frac{\sigma}{2\epsilon_0}$

★小结:

1、给定电荷分布, 要求电势分布与场强分布, 应如何选取较为简便的计算方法?

① 首选方法: 先用电势叠加法 $U = \int dU$ 计算电势分布, 再用 $\vec{E} = -\nabla U$ 计算场强分布。

② 其次, 电荷分布具有高对称性时, 也可先用高斯定理求出 \vec{E} 分布, 再用 $U_p \equiv \int_p^{\text{电势零点的位置}} \vec{E} \cdot d\vec{l}$ 计算电势分布。

★③ 但若仅求某一特殊点的场强和电势, 则各用各的叠加法: $U = \int dU$, $\vec{E} = \int d\vec{E}$

★2、默写典型带电体的场强和电势分布公式。牢记电场强度和电势满足叠加原理。

二、静电场中的导体和电介质: ①根据静电平衡后导体的性质, 先确定电荷分布; ②场强满足矢量叠加, 电势满足标量叠加; ③接地的导体电势为零; ④电容器带等量异号电荷; 电介质能使电容增大;

1、导体静电平衡的条件和性质:

① 电荷分布: 实心导体以及导体空腔内无带电体时, 电荷分布在外表面上; 空腔内有带电体时, 空腔内表面的电荷与内部的电荷等量异号, 外表面电荷由电荷守恒定律决定。腔内带电体改变一下位置, 会影响内表面的电荷分布, 但不影响外表面的电荷分布; 导体接地, 意味着电势为零, 导体上是否还有电荷, 应从“电势为零”进行讨论。

② 场强分布: $\vec{E}_{\text{导体内}} = 0$, $\vec{E}_{\text{外表面}} = \frac{\sigma}{\epsilon_0} \vec{e}_n$; 注意, \vec{E} 为空间所有电荷产生的总场强; 空腔内有带电体时, 腔内电

场由腔内带电体和空腔内表面的电荷决定; 腔外电场由空腔外表面电荷和腔外带电体决定。

③ 电势分布: 导体为等势体, 导体表面为等势面;

2、电容器:

① 电容的定义: $C = \frac{Q}{U}$ (C 的计算步骤: 假设带等量异号电荷, 电量为 Q, 求出两个极板的电势差, 然后代入定义式即可求出 C);

② 电容器储能: $W = \frac{1}{2}QU = \frac{Q^2}{2C} = \frac{1}{2}CU^2$;

③ 电容器并联: 每个电容器的电压相同; 等效电容 $C = C_1 + C_2 + C_3 + \dots$;

④ 电容器串联: 每个电容器的电量相同, 等效电容 $\frac{1}{C} = \frac{1}{C_1} + \frac{1}{C_2} + \frac{1}{C_3} + \dots$;

⑤ 平行板电容器: 两极板间为真空时, $E = \frac{\sigma}{\epsilon_0}$, $U = Ed$, $C_0 = \frac{\epsilon_0 S}{d}$; 电容器极板间充满电介质 (相对介电常数为 ϵ_r) 时, $C = \epsilon_r C_0 > C_0$, 电容增大。

3、电介质: 两种方法求解。

a) 将真空公式中的 ϵ_0 改成介电常数 ϵ , 而 $\epsilon = \epsilon_r \epsilon_0$, 其中, ϵ_r 称为相对介电常数。

b) 先用高斯定理 $\oiint_s \vec{D} \cdot d\vec{s} = \sum_{s \text{ 内}} q$ 求出电位移矢量 \vec{D} 的分布, 然后利用 $\vec{D} = \epsilon \vec{E} = \epsilon_r \epsilon_0 \vec{E}$ 求出不同电介质中的 \vec{E} 的分布。

小结: 有带电导体存在时, 应先确定电荷在导体上的分布, 然后求解场强和电势。牢记“场强满足矢量叠加, 电势满足标量叠加”。★重点: 球形导体、无限长圆柱形导体、无限大导体板各物理量的计算。

稳恒电流的磁场

一、已知电流分布 (或运动的电荷), 求解磁感应强度 \vec{B} 的分布

1、方法一 —— 毕奥-萨伐尔定律

$$d\vec{B} = \frac{\mu_0}{4\pi} \frac{Id\vec{l} \times \vec{e}_r}{r^2}, \text{ 大小 } dB = \frac{\mu_0 Idl \sin \theta}{4\pi r^2}, \text{ 方向为 } Id\vec{l} \times \vec{e}_r \text{ 的方向。 } \frac{\mu_0}{4\pi} = 10^{-7} \text{ N} \cdot \text{A}^{-2}$$

注意: 电流是标量。公式里面 $d\vec{l}$ 的方向为 I 的方向。

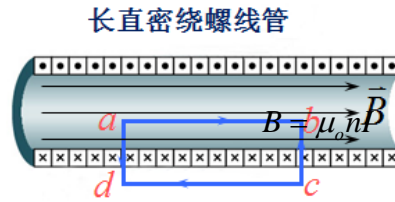
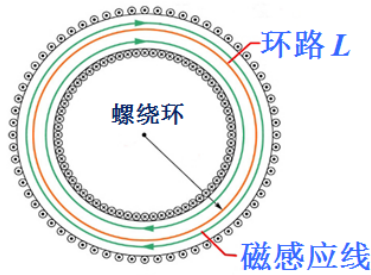
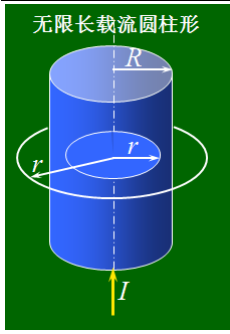
$$\vec{B} = \int d\vec{B}: \text{ 将 } d\vec{B} \text{ 分解为分量后再积分, } B_x = \int dB_x, B_y = \int dB_y, B_z = \int dB_z$$

【注意】电流在其延长线上各点产生的磁感应强度为零。(因为夹角 θ 为 0)

\vec{B} 是矢量, 有大小有方向。单位为: 特斯拉 (T)。

2、方法二 —— 安培环路定理 (求解高对称性的磁场分布)

$$\oint_L \vec{B} \cdot d\vec{l} = \mu_0 \sum_{L \text{ 内}} I, \text{ 注意安培环路 } L \text{ 的选取, (一般取同心圆周或者矩形)}$$



(1)、无限长载流圆柱形：L 选取如图所示， $B \cdot 2\pi r = \mu_0 \sum_{L内} I$ ，从而求出 B。(安培环路 ppt 有此例题)

注意：和载流圆柱面的区别。(见第二页)

(2)、螺绕环：L 选取如图所示，则 $B 2\pi r = \mu_0 (NI)$ (N 为总共的匝数) (安培环路 ppt 有此例题)

(3)、长直密绕螺线管：选取过场点的矩形回路为 L，如图所示，则 $B \cdot \overline{ab} = \mu_0 (\overline{nab} I)$ (n 为单位长度的匝数)

3、【几种形状载流导线所产生的磁场】重要！

磁场的方向与电流满足右手螺旋关系。

(1)有限长载流直导线： $B = \frac{\mu_0 I}{4\pi r} (\cos \theta_1 - \cos \theta_2)$

无限长载流直导线： $B = \frac{\mu_0 I}{2\pi r}$ (方向右手大拇指为电流方向，四指环绕方向为磁场方向)

②载流圆线圈：圆心 O 处 $B = \frac{\mu_0 I}{2R}$

轴线上 P 点 $B = \frac{\mu_0 I}{2R} \sin^3 \theta = \frac{\mu_0 I R^2}{2r^3}$

一段圆弧 (圆心角为 θ ，弧长为 l) 在圆心处： $B = \frac{\mu_0 I}{2R} \left(\frac{\theta}{2\pi} \right) = \frac{\mu_0 I}{2R} \left(\frac{l}{2\pi R} \right)$

方向：右手四指电流方向，大拇指为磁场方向。

③无限长载流直螺线管内部： $B = \mu_0 n I$ ，n — 单位长度的匝数。

无限长载流直螺线管外部： $B = 0$

方向：右手螺旋判断。右手四指电流方向，大拇指为磁场方向。

④螺绕环： $B = \frac{\mu_0 N I}{2\pi r}$ ；细螺绕环： $B \approx \mu_0 n I$ ，N — 总匝数；n — 单位长度的匝数。方向：为上一页螺绕环的磁感应线方向。

⑤无限大平面电流： $B = \frac{1}{2} \mu_0 i$ ，i 表示单位宽度上流过的电流强度。

⑥无限长载流圆柱面： $r < R$ 代表圆柱面内部空间， $r > R$ 代表外部空间；

则有 $B = \begin{cases} 0 & r < R \\ \frac{\mu_0 I}{2\pi r} & r > R \end{cases}$ (注意，B 与 r 成反比)

无限长载流圆柱体 (或者称为“圆柱形”)： $B = \begin{cases} \frac{\mu_0 I r}{2\pi R^2} & r \leq R \\ \frac{\mu_0 I}{2\pi r} & r > R \end{cases}$ (注意，B 与 r 成正比)

(注意，B 与 r 成反比)

4、单个运动电荷的磁感应强度： $\vec{B} = \frac{\mu_0}{4\pi} \frac{q\vec{v} \times \vec{e}_r}{r^2}$

电量为 q 的点电荷或环形电荷作匀速圆周运动，可以等效为圆电流： $I = \frac{q}{T} = q \frac{\omega}{2\pi}$

5、磁场的高斯定理： $\oiint_S \vec{B} \cdot d\vec{S} = 0$ （穿过闭合曲面的磁通量为零）

磁通量的计算： $\Phi = \iint_S \vec{B} \cdot d\vec{S} = \iint_S B dS \cos \theta$ ，单位为 Wb（韦伯）

6、安培环路定理： $\oint_L \vec{B} \cdot d\vec{l} = \mu_0 \sum_{L内} I$ ，注意电流有正负（与 L 满足右手螺旋关系的电流为正，反之为负）。常用反证法。

7、有磁介质时：将公式中的 μ_0 改成磁介质的磁导率 μ ；而 μ 可写成 $\mu = \mu_r \mu_0$ ， μ_r 称为磁介质的相对磁导率。

此时的安培环路定理： $\oint_L \vec{H} \cdot d\vec{l} = \sum_{L内} I$ ， $\vec{B} = \mu \vec{H} = \mu_r \mu_0 \vec{H}$ （注意 \vec{H} 为磁场强度。单位 A/m ）

二、已知 \vec{B} ，求作用力

1、洛伦兹力： $\vec{F} = q\vec{v} \times \vec{B}$

$\vec{v} \parallel \vec{B}$ 时， $\vec{F} = 0$ ，粒子做“匀速直线运动”；

$\vec{v} \perp \vec{B}$ 时， $F = qvB = m \frac{v^2}{R}$ ，粒子作“匀速率圆周运动”，半径 $R = \frac{mv}{qB}$ ，周期 $T = \frac{2\pi m}{qB}$ 。

\vec{v} 、 \vec{B} 之间夹角为 θ 时，将速度分解为平行磁场的分量 $v_{\parallel} = v \cos \theta$ 和垂直磁场的分量 $v_{\perp} = v \sin \theta$ ，粒子作“等

螺距的螺旋线运动”，半径 $R = \frac{mv_{\perp}}{qB}$ ，螺距 $h = v_{\parallel} T = v_{\parallel} \frac{2\pi m}{qB}$

利用洛伦兹力定义 \vec{B} ：大小为 $B = \frac{F_{\max}}{qv}$ ，方向： $\vec{F}_{\max} \times \vec{v}$ 的方向即为 \vec{B} 的方向。

2、安培力： $d\vec{F} = I d\vec{l} \times \vec{B}$ ， $\vec{F} = \int_L d\vec{F} = \int_L I d\vec{l} \times \vec{B}$ （注意，应将 $d\vec{F}$ 分解为分量后，对分量积分）

【特例】在均匀磁场中的直导线受力： $\vec{F} = I \vec{L} \times \vec{B}$

【特例】在均匀磁场中的弯曲导线的受力=从起点到终点通以同样电流的直导线的受力。

【特例】在均匀磁场中的闭合导线线圈的受力=0。

3、在均匀磁场中载流线圈受到的磁力矩：

$\vec{M} = \vec{p}_m \times \vec{B}$ ，大小 $M = p_m B \sin \theta$ ，（注意两个矢量的夹角，注意磁力矩方向的判断）。其中 $\vec{p}_m = NI \vec{S}$ 称为线圈的磁矩，其方向与线圈中的电流满足右手螺旋关系。单位：牛顿米（ $N \cdot m$ ）

4、磁力或磁力矩做功： $A = I(\Phi_{m2} - \Phi_{m1})$ ，单位：焦耳（J）

注意： Φ_{m2} 和 Φ_{m1} 为磁通量。注意 Φ_{m2} 和 Φ_{m1} 的正负。

在这种情况下，面积的方向与电流的方向成右手螺旋关系。

电磁感应

一：感应电动势大小的计算（单位：伏特（V））

1、**法拉第定律**：感应电动势 $\mathcal{E} = -N \frac{d\Phi}{dt}$ ，（N 为线圈匝数， Φ 为穿过每一匝线圈的磁通量）

注意：①先计算穿过整个回路的磁通量 Φ ，然后再对 t 求导；

②先计算大小 $|\mathcal{E}| = \left| -N \frac{d\Phi}{dt} \right|$ ，再用楞次定律判断 \mathcal{E} 的指向。

感应电流： $I = \frac{\mathcal{E}}{R} = -\frac{N}{R} \frac{d\Phi}{dt}$ ；（单位：安培（A））

感应电量： $q = \int_{t_1}^{t_2} I dt = -\frac{1}{R} (\Phi_2 - \Phi_1)$ （注意负号）（单位：库伦（C））

2、**动生电动势**：（1）用法拉第定律计算外（若不是回路，可以添加辅助线构成回路）；

（2） $\mathcal{E} = \int_L (\vec{v} \times \vec{B}) \cdot d\vec{l}$ ，L——运动的导线。（注意叉乘和点乘的夹角）

建议：先计算大小 $|\mathcal{E}| = \left| \int_L (\vec{v} \times \vec{B}) \cdot d\vec{l} \right|$ ，再用 $(\vec{v} \times \vec{B})$ 判断 \mathcal{E} 的指向（从负极指向正极）。

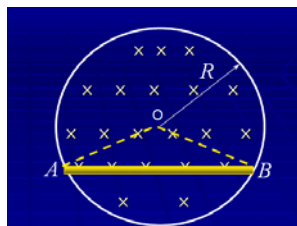
3、感生电动势：

产生原因：变化的磁场在其周围空间将激发出感生电场。

用法拉第定律计算，若导线不是回路，可以添加辅助线构成回路（常常添加径向辅助线）。

如图所示，棒 AB 上的感生电动势的**大小**就等于回路 OAB 所产生的感应电动势的**大小**。

方向用楞次定律判断



4、**变化的磁场会产生涡旋电场 \vec{E}_k** （单位（V/m）），满足 $\oint_L \vec{E}_k \cdot d\vec{l} = - \iint_S \frac{d\vec{B}}{dt} \cdot d\vec{s}$ ，

\vec{E}_k 的方向与所围的 $\frac{\partial \vec{B}}{\partial t}$ 的相反方向成右手螺旋关系。（因为有负号）

\vec{E}_k 不是保守场，不能引入电势的概念。

二、自感和互感的计算

①自感系数： $L = \frac{\Psi}{I} = \frac{N\Phi}{I}$ ，其中 Ψ 为穿过 N 匝线圈的自感全磁通（也称为磁通匝链数）， Φ 为穿过每一匝线圈的磁通量。单位：亨利（H）

无铁磁质时，L 仅与线圈形状、匝数 N 及磁介质有关，而与电流 I 无关。

无限长螺线管的自感系数： $L = \mu n^2 V = \mu_0 \mu_r n^2 V$ 注意：n —— 单位长度的匝数。

自感电动势： $\mathcal{E}_L = -L \frac{dI}{dt}$ （注意负号）

②互感系数： $M = \frac{\Psi_{21}}{I_1} = \frac{\Psi_{12}}{I_2}$ ，其中 Ψ_{21} 为线圈 1 的磁场穿过线圈 2 的互感全磁通； Ψ_{12} 为线圈 2 的磁场穿过线圈 1 的互感全磁通。单位：亨利（H）

无铁磁质时， M 仅与两个线圈形状、大小、匝数、相对位置以及周围的磁介质有关，而与电流无关。

互感电动势： $\varepsilon_{12} = -M \frac{dI_2}{dt}$ ， $\varepsilon_{21} = -M \frac{dI_1}{dt}$ （注意负号）

③两个线圈顺接： $L = L_1 + L_2 + 2M$ ，两个线圈反接： $L = L_1 + L_2 - 2M$
 $M = k\sqrt{L_1 L_2}$ ，无漏磁时， $k = 1$

④自感线圈磁能： $W_m = \frac{1}{2} LI^2$ 单位：J

磁场能量密度： $w_m = \frac{1}{2} BH = \frac{B^2}{2\mu} = \frac{1}{2} \mu H^2$ ，单位：J/m³

某区域（体积为 V ）内的磁场能量： $W_m = \int_V w_m dV = \int_V \frac{B^2}{2\mu} dV$ 单位：J

三、位移电流的计算

1、产生原因：变化的电场。

2、位移电流密度： $\vec{j}_d = \frac{d\vec{D}}{dt} = \varepsilon \frac{d\vec{E}}{dt}$ ，当 \vec{E} 随着时间 t 增加时， \vec{j}_d 与 \vec{E} 同方向；当 \vec{E} 随着时间 t 减小时， \vec{j}_d 与 \vec{E} 反方向；单位：A/m²。

3、位移电流强度（简称“位移电流”）：

$I_d = j_d S = \frac{dD}{dt} S = \varepsilon \frac{dE}{dt} S$ ， S ——垂直于电流方向的面积。

或者，电容器充放电时， $I_d = \frac{dq}{dt} = \frac{d(CU)}{dt} = C \frac{dU}{dt}$

位移电流（即变化的电场）能够产生感生磁场，位移电流的方向与磁场的方向满足右手螺旋关系。

3、全电流： $I = I_0 + I_d$ ，全电流是连续的，电流线不中断。

4、全电流定律：全电流在空间产生的磁场满足： $\oint_L \vec{H} \cdot d\vec{l} = \sum_{L内} I = \sum_{L内} (I_0 + I_d) = \iint_S (\vec{j}_0 + \frac{d\vec{D}}{dt}) \cdot d\vec{s}$

\vec{H} （单位：A/m）的方向与全电流的方向满足右手螺旋定则。

四、麦克斯韦方程组（注意积分符号、矢量符号以及点积、叉积的符号要写）

$$\oiint_S \vec{D} \cdot d\vec{s} = \iiint_V \rho dV, \quad \oint_L \vec{E} \cdot d\vec{l} = - \iint_S \frac{\partial \vec{B}}{\partial t} \cdot d\vec{s},$$

$$\oiint_S \vec{B} \cdot d\vec{s} = 0, \quad \oint_L \vec{H} \cdot d\vec{l} = \iint_S (\vec{j}_0 + \frac{\partial \vec{D}}{\partial t}) \cdot d\vec{s}$$

（注意，等号左边的积分上都有圆圈符号，而右边的都没有）。

光的干涉

一、光程、光程差、相位差

1、光程=折射率×光传播的几何路程；

2、光程差 δ 与相位差 $\Delta\varphi$ 的关系: $\Delta\varphi = \frac{2\pi}{\lambda}\delta$, 注意, λ 为真空中的波长。

3、干涉条纹的分析, 主要取决于光程差 δ : 当 $\delta = \pm k\lambda$ 时, 干涉增强; 当 $\delta = \pm(2k+1)\frac{\lambda}{2}$ 时, 干涉相消。干涉级次

k 的取值具体问题具体分析。

(重点: 写出各种干涉装置的光程差!)

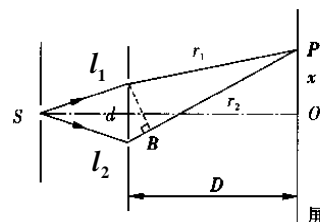
二、杨氏双缝干涉 (设在真空中) **很重要!**

1、光程差 $\delta = (l_2 - l_1) + (r_2 - r_1) \approx (l_2 - l_1) + d \frac{x}{D}$

特例: $l_2 = l_1 \rightarrow$ 明纹: $\delta = d \frac{x_k}{D} = \pm k\lambda$, $x_k = k \frac{D}{d} \lambda$, 级次 $\pm k = 0, \pm 1, \pm 2, \dots$,

暗纹: $\delta = d \frac{x_k}{D} = \pm(2k-1)\frac{\lambda}{2}$, 级次 $\pm k = \pm 1, \pm 2, \dots$

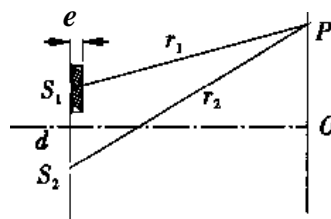
相邻明纹间距: $\Delta x = x_{k+1} - x_k = \frac{D}{d} \lambda$



2、如图, 某一狭缝后加一薄片 (折射率为 n , 厚度为 e), 则条纹会移动 k

条 (上移),

满足 $(n-1)e = k\lambda$



三、薄膜干涉

1、薄膜等倾干涉: 光程差 $\delta = 2e\sqrt{n_2^2 - n_1^2 \sin^2 i} + \frac{\lambda}{2}$

2、**垂直** 入射时, 反射光的光程差: $\delta = 2ne + \delta'$, n 为薄膜的折射率。其中, 附加光程差

$\delta' = \begin{cases} \frac{\lambda}{2} & n_1 < n > n_2, n_1 > n < n_2 \\ 0 & n_1 > n > n_2, n_1 < n < n_2 \end{cases}$ (δ' 要具体问题具体分析)。(注意, 无论是厚度相等的薄膜, 还是劈尖膜

和牛顿环, 当光线垂直入射时, δ 都是这样表示。)

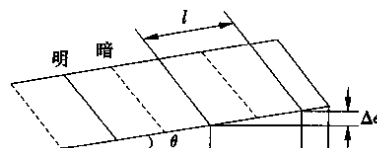
3、增透膜: 透射光干涉增强, 即反射光干涉相消, $\therefore \delta = 2ne + \delta' = (2k+1)\frac{\lambda}{2}$.

高反膜: 反射光干涉增强, $\therefore \delta = 2ne + \delta' = k\lambda$.

4、劈尖膜: **很重要!**

①明纹: $\delta = 2ne + \delta' = k\lambda$, (k 的取值具体分析) \rightarrow 可求出厚度 e

②暗纹: $\delta = 2ne + \delta' = (2k+1)\frac{\lambda}{2} \rightarrow$ 可求出厚度 e



③相邻条纹厚度差: $\Delta e = e_{k+1} - e_k = \frac{\lambda}{2n}$; 条纹间距 (明纹或暗纹): $l = \frac{\Delta e}{\sin \theta} \approx \frac{\lambda}{2n\theta}$

④分析: 当膜的结构发生微小变化时, 条纹如何移动; 工件平整度的检查 (光的干涉作业中的自测提高 9)。

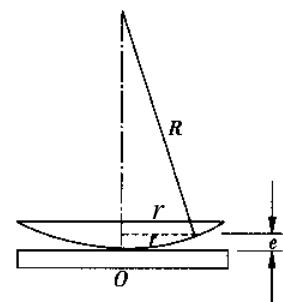
5、牛顿环: 装置如图所示。 **很重要!**

①条纹半径 r 与厚度的关系: $r^2 = R^2 - (R - e)^2 \approx 2eR$ (注意: ①略去 e^2 ; ②若装置改变了, 则应重新推导 r 的公式)

② r 公式中的厚度由下式决定:

明纹: $\delta = 2ne_k + \frac{\lambda}{2} = k\lambda$, (k 的取值具体分析) $\rightarrow e_k \rightarrow r_k$

暗纹: $\delta = 2ne_k + \frac{\lambda}{2} = (2k+1)\frac{\lambda}{2} \rightarrow e_k \rightarrow r_k$



③分析: 条纹的移动 (光的干涉作业中的基础训练 8)。

6、迈克尔逊干涉仪: 注意以下两种变动, 不可混淆。

①在某一光路中放入一薄片 (n, e), 光程差改变了 $2(n-1)e$, 引起条纹移动 Δk 条: $2(n-1)e = \Delta k \cdot \lambda$

②平面镜移动 d , 光程差改变了 $2d$, 引起条纹移动 Δk 条: $2d = \Delta k \cdot \lambda$

光的衍射

一、单缝衍射 (缝的宽度为 a) **很重要!**

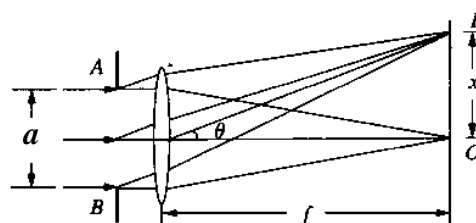
1、半波带法的思想: 相邻两个半波带上相应位置发出的光波在相遇点 P 的相位差为 π , 叠加时干涉相消。因此, 若衍射角为 θ 的衍射光将单缝分割成偶数个半波带, 则 P 处为暗纹; 若分割成奇数个半波带, 则 P 处为明纹。

2、暗纹: $a \sin \theta_k = \pm k\lambda$, 级次 $\pm k = \pm 1, \pm 2, \dots$, 半波带数目 $= 2k$, 暗纹在屏幕上的位置 $x_k = f \cdot \tan \theta_k$;

3、明纹: $a \sin \theta_k = \pm (2k+1)\frac{\lambda}{2}$, 级次 $\pm k = \pm 1, \pm 2, \dots$; 半波带数目 $= 2k+1$,

在屏幕上的位置 $x_k = f \cdot \tan \theta_k$,

4、中央明纹宽度: $\Delta x = 2x_1 \approx 2f \frac{\lambda}{a}$



二、光栅衍射: 多光束干涉+单缝衍射光强的调制

①参数: 透光部分宽度 a ; 不透光部分宽度为 b , 光栅常数: $d = a + b$;

总缝数: $N = \text{光栅的宽度} / d$ (给出了 N 与 d 之间的关系)

②主极大 (也称为谱线、明纹) 满足: 相邻两束光的光程差 = 波长的整数倍。

垂直入射时: $d \sin \theta_k = \pm k \lambda$ (称为光栅方程), 级次 $\pm k = 0, \pm 1, \pm 2, \dots \pm k_{\max}$,

条纹在接收屏上的位置: $x_k = f \cdot \tan \theta_k$ (不可作小角近似, 即 $\tan \theta_k \neq \sin \theta_k$),

③最大级次的取值: $k_{\max} < \frac{d \sin \frac{\pi}{2}}{\lambda} = \frac{d}{\lambda}$

④缺级: $\begin{cases} d \sin \theta = k \lambda \\ a \sin \theta = k' \lambda \end{cases}$, 所以, 缺级发生在 $k = \frac{d}{a} k'$ 处, 其中 $k' = \pm 1, \pm 2, \pm 3, \dots$

⑤光谱分析:

最大可分辨级次 k 满足: $(k+1)\lambda_{\min} \geq k\lambda_{\max}$,

对于白光来说, 紫光的波长 (较短), 红光的波长 (较长)。

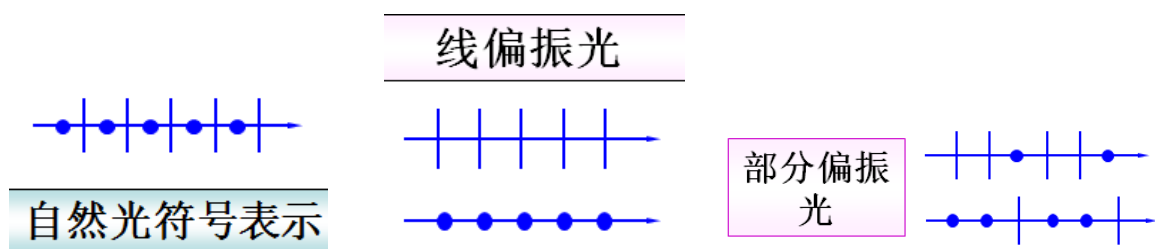
光学仪器 (包括人眼) 的最小分辨角: $\delta\theta = 1.22 \frac{\lambda}{d}$, 分辨本领: $R \equiv \frac{1}{\delta\theta} = \frac{d}{1.22\lambda}$

增大孔径 d , 或减小波长, 可以提高分辨本领。

光的偏振

一、马吕斯定律及其相关知识

1、自然光、部分偏振光、线偏振光（完全偏振光）的表示法。



2、自然光 I_0 通过偏振片后，成为线偏振光，光强为 $I_0/2$

马吕斯定律：强度为 I_0 的偏振光通过偏振片后，出射光的强度为 $I = I_0 \cos^2 \alpha$

注意： α 为偏振化方向间的夹角

3、利用偏振片和四分之一波片，如何区分圆偏振和自然光，以及椭圆偏振和部分偏振光？

二、布儒斯特定律

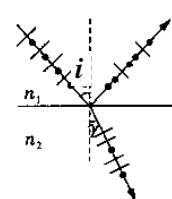
1、以一般的入射角入射时：反射光为部分偏振光，垂直于入射面的振动成分较多。分偏振光，但是平行于入射面的振动成分较多。如图所示。

2、布儒斯特定律：当光从 n_1 介质以布儒斯特角 i_B 入射到界面上时，振动方向平行于入射面的成分 100% 透射，导致

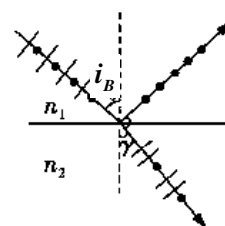
① 反射光为完全偏振光，且振动方向垂直于入射面，折射光为部分偏振光。

② 反射光和折射光互相垂直： $i_B + \gamma = \frac{\pi}{2}$ ， $\tan i_B = \frac{n_2}{n_1}$

③ 根据光的可逆性，当入射光以 γ 角从 n_2 介质入射于界面时，此 γ 角即为布儒



折射光也是部
行于入射面的



斯特角。

注意：布儒斯特角为入射角！

量子物理

最重要还是复习作业!!!

一、黑体辐射

1、能谱曲线：如图。随着温度升高，面积增大，峰值位

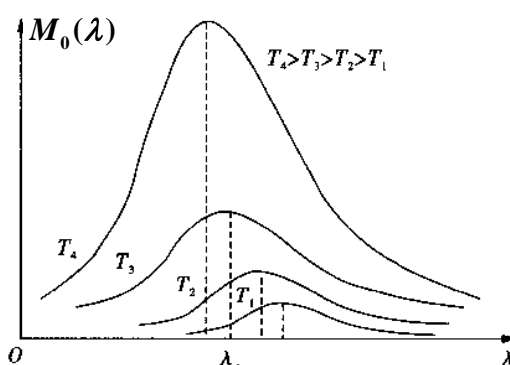
2、斯特藩 — 玻尔兹曼定律： $M = \sigma T^4$,

M ——辐出度，即曲线下的面积；

$$\sigma = 5.670 \times 10^{-8} \text{ W} \cdot \text{m}^{-2} \cdot \text{K}^{-4}.$$

3、维恩位移定律： $\lambda_m T = b$ ， λ_m ——峰值波长。

$$b = 2.898 \times 10^{-3} \text{ m} \cdot \text{K}$$



置往短波移

二、光电效应

1、光电效应方程： $h\nu = \frac{1}{2}mv^2 + A$ ；其中，光子能量 $h\nu = h\frac{c}{\lambda}$ ；初动能 $\frac{1}{2}mv^2 = eU_a$ （ U_a 为反向截止电压）；逸

出功 $A = h\nu_0 = h\frac{c}{\lambda_0}$ （ ν_0 和 λ_0 分别为红限频率和红限波长）。

2、光的波粒二象性

光子能量 $E = h\nu$ ；动量 $p = \frac{h}{\lambda}$ ；质量 $m = \frac{p}{c} = \frac{E}{c^2} = \frac{h\nu}{c^2}$

三、康普顿效应

1、散射光中波长变长的成分可以用光子与自由电子的弹性碰撞解释。满足能量守恒和动量守恒。

其中能量守恒： $h\nu_0 + m_e c^2 = h\nu + mc^2$

电子获得的反冲动能： $E_k = mc^2 - m_e c^2 = h\nu_0 - h\nu = h\frac{c}{\lambda_0} - h\frac{c}{\lambda}$ ，其中 $m = \frac{m_e}{\sqrt{1 - \left(\frac{v}{c}\right)^2}}$ ， m_e 为电子的静止质量。

2、康普顿公式： φ ——散射角； $\lambda_c = \frac{h}{m_e c} = 0.0243 \text{ \AA}$ ——电子的康普顿波长。

$$\Delta\lambda = \lambda - \lambda_0 = 2\lambda_c \sin^2 \frac{\varphi}{2} \quad \begin{cases} \varphi = \pi, & \Delta\lambda_{\max} = 2\lambda_c \\ \varphi = 0, & \Delta\lambda_{\min} = 0 \end{cases}$$

注意：当散射光子与入射光子方向成夹角 $\varphi = \pi$ 时，散射光子的频率小得最多；当 $\varphi = 0$ 时，散射光子的频率与入射光子相同。

组合常数： $hc = 1.24 \text{ KeV} \cdot \text{nm}$, $m_e c^2 = 0.511 \text{ MeV}$

四、氢原子光谱与玻尔理论

1、里德伯公式： $\tilde{\nu} = R \left(\frac{1}{m^2} - \frac{1}{n^2} \right)$ ，R 为里德伯常数。 $\tilde{\nu} = \frac{1}{\lambda}$ 称为波数。

2、氢原子能级： $E_n = \frac{E_1}{n^2} \quad (n=1,2,3,\dots)$ ， $E_1 = -13.6\text{eV}$

3、跃迁时，吸收或发射光子的能量： $h\nu = E_n - E_m$ ；（频率 $\nu = \frac{c}{\lambda} = c\tilde{\nu}$ ）

4、处于 E_n 能级的氢原子的电离能 $= |E_\infty - E_n| = |E_n| = \frac{13.6\text{eV}}{n^2}$ （注意，电离能是正的）

五、德布罗意波长

1、考虑相对论效应： $\lambda = \frac{h}{p} = \frac{h}{m\mathbf{v}} = \frac{h}{m_0\mathbf{v}} \sqrt{1 - \left(\frac{v}{c}\right)^2}$ ，或者：

粒子的动能 $E_K = mc^2 - m_0c^2 = qU$ ，（U 为加速电压） \rightarrow 由 $(E_K + m_0c^2)^2 = m_0^2c^4 + p^2c^2$ ，可得

$$p = \sqrt{\left(\frac{E_K}{c}\right)^2 + 2m_0E_K}, \quad \lambda = \frac{h}{p} = \dots$$

2、若不用相对论计算：则动能 $E_K = \frac{1}{2}m_0v^2 = qU$ ， $\lambda = \frac{h}{p} = \frac{h}{m_0v} = \frac{h}{\sqrt{2m_0E_K}}$

六、不确定关系

1、位置与动量： $\Delta x \Delta p_x \geq \frac{\hbar}{2}$ ， $\hbar = \frac{h}{2\pi}$ ， $h = 6.626 \times 10^{-34} \text{J} \cdot \text{s}$ （注意， \hbar 与 h 不同）

2、能量与时间： $\Delta E \cdot \Delta t \geq \frac{\hbar}{2}$

$$\text{光子: } E = h\nu = \frac{hc}{\lambda} \rightarrow \lambda = \frac{hc}{E} \rightarrow \frac{d\lambda}{dE} = -\frac{hc}{E^2} \rightarrow \Delta\lambda = \frac{hc}{E^2} \Delta E$$

七、薛定谔方程

1、一维无限深势阱（宽度为 a ）：

波函数为 $\psi(x) = \sqrt{\frac{2}{a}} \sin \frac{n\pi x}{a}$ ，在 $x_1 \rightarrow x_2$ 区间找到粒子的概率 $= \int_{x_1}^{x_2} \left| \sqrt{\frac{2}{a}} \sin \frac{n\pi x}{a} \right|^2 dx$ （先平方，再积分）

2、隧道效应：在势垒及势垒两侧找到粒子的概率都不为零。

3、氢原子：波函数 ψ_{n,l,m_l} ，径向 $r \rightarrow r + dr$ 区间找到电子的概率 $w = |\psi_{n,l,m_l}|^2 4\pi r^2 dr$

八、电子自旋、电子组态

1、直接证实了电子自旋存在的最早的实验之一是施特恩—格拉赫实验

自旋量子数 $S=1/2$ ，自旋磁量子数 $m_s = \frac{1}{2}, -\frac{1}{2}$

2、电子的状态用四个量子数描述： (n, l, m_l, m_s) （注意顺序）

主量子数 $n = 1, 2, 3, \dots$ 分别称为 K、L、M、N... 主壳层；

角量子数 $l = 0, 1, 2, \dots, (n-1)$ ，分别用符号 s、p、d、f、g、h.....表示。

磁量子数 $m_l = 0, \pm 1, \pm 2, \dots, \pm l$ ，自旋磁量子数 $m_s = \frac{1}{2}, -\frac{1}{2}$

3、电子组态： $1s^2 2s^2 2p^6 3s^2 3p^6 3d^{10} \dots$ ；n 主壳层能够填充的最多电子数为 $2n^2$ 个。

说明：如果有同学发现错误，请及时和我联系!!! 谢谢!!!